



## Enzymatic extraction of sulfated polysaccharide from the skin of rainbow trout (*Oncorhynchus mykiss*) and evaluation of its chemical, antioxidant and functional properties

Shahab Naghdi<sup>1</sup>, Masoud Rezaei<sup>\*2</sup>, Mehdi Abdollahi<sup>3</sup>, Mehdi Tabarsa<sup>4</sup>

Received: 2021.10.21

Revised: 2022.02.06

Accepted: 2022.02.16

Available Online: 2022.02.16

### How to cite this article:

Naghdi, Sh., Rezaei, M., Abdollahi, M., Tabarsa, M. (2022). Enzymatic extraction of sulfated polysaccharide from the skin of rainbow trout (*Oncorhynchus mykiss*) and evaluation of its chemical, antioxidant and functional properties. *Iranian Food Science and Technology Research Journal*. 18 (5), 725-738.

### Abstract

**Introduction:** Bioactive compounds are substances found in small amounts in food. In addition to their influence on human development, these compounds also play a crucial role in reducing diseases in human. Polysaccharides are a group of bioactive compounds that come from a variety of sources. Polysaccharides are macromolecules that are usually composed of more than ten monosaccharides. The constituent monosaccharides are arranged linearly or branched together through glycoside bonds, depending on the length of the chain and the number of constituent monosaccharides. They also have different molecular weight. Polysaccharides, like other essential macromolecules such as proteins and poly-nucleotides in the body, are essential for the flaxseed body's daily activities and play an influential role in cell-cell communication, cell adhesion, and the identification of molecules in the immune system. A group of polysaccharides derived from marine sources are sulfated polysaccharides. These polysaccharides are a broad branch of the resulting polysaccharides. In industrial quantities, sulfated polysaccharides are produced from pig skin and pig bone, and there are some restrictions on the use of these products in some countries. The limitations on the use of these products made from pig waste are the risks of transmitting influenza, as well as the prohibition of pork in some Islamic countries. In this regard, by-products from seafood processing, which account for about 20 to 50 percent of the initial weight of raw material, are one of the sources that researchers are considering to extract these compounds.

**Material and Method:** After preparation of the by-product, it was covered with ice in a ratio of 1 to 3 and transferred to the laboratory of Tarbiat Modares University. The sample was then washed and then ground. Finally, it was packed in plastic bags and kept in the freezer at -18 °C until the day of experiment. Then, the enzymatic hydrolysis method and precipitation by ethanol were used to get sulfated polysaccharides. Chemical analyses were performed to determine carbohydrates, sulfates, proteins, and uronic acid content. The FTIR spectrum of extracted sulfate polysaccharide was determined using an FTIR spectrophotometer in the range of 400-4000 cm<sup>-1</sup>. Evaluation of antioxidant properties of obtained sulfate polysaccharide was assessed by DPPH free radical scavenging activity, ABTS

1. PhD Student, Department of Fishery Processing, Faculty of Natural Resources and Marine Sciences, Tarbiat Modares University, Noor, Iran.

2. Professor, Department of Fishery Processing, Faculty of Natural Resources and Marine Sciences, Tarbiat Modares University, Noor, Iran.

3. Researchers, Department of Biology and Biological Engineering, Food Science and Nutrition, Chalmers University of Technology, Gothenburg, Sweden.

4. Associate Professor, Department of Fishery Products Processing, Faculty of Natural Resources and Marine Sciences, Tarbiat Modares University, Noor, Iran.

(\*Corresponding Author Email: [rezai\\_ma@modares.ac.ir](mailto:rezai_ma@modares.ac.ir))

DOI: [10.22067/IFSTRJ.2022.72999.1102](https://doi.org/10.22067/IFSTRJ.2022.72999.1102)

free radical scavenging activity, and ferrozine tests. Emulsifying and foaming properties were also evaluated as functional properties.

**Results and Discussion:** In the present study, sulfated polysaccharide was extracted from Rainbow trout (*Oncorhynchus mykiss*) skin by pepsin enzyme and its FTIR spectrum, carbohydrate, sulfate, uronic acid and protein were analyzed. The results of the chemical analysis of the extracted polysaccharide showed that the extraction efficiency was  $3.23 \pm 0.02\%$ , as well as the percentage of carbohydrate and protein of the obtained polysaccharide was  $57.03 \pm 2.56$ ,  $7.78 \pm 0.43\%$  respectively. Also, the amount of sulfate and uronic acid were  $6.54 \pm 0.77$  and  $3.86 \pm 0.43$ , respectively. The results of infrared spectroscopy showed the presence of a broad peak in the range between  $3350$  and  $3450 \text{ cm}^{-1}$  for the  $-\text{OH}$  group and the  $\text{S}=\text{O}$  sulfate flexural band in the range of  $1245 \text{ cm}^{-1}$ . An increasing and significant trend was observed in different concentrations used for the DPPH test ( $p < 0.05$ ) which had the highest neutralizing power (38.85%) at a concentration of 2 mg/ml. The highest percentage of ABTS radical chelating was observed at a concentration of 4 mg/mm of distilled water with 71.70% ( $p < 0.05$ ). The chelating results of the extracted polysaccharide against ferrous ions showed that the highest chelating percentage was 98.43% ( $p < 0.05$ ). The foaming capacity, stability properties of the foam, and the emulsifying ability of the studied sample showed a trend of increasing the concentration coefficient of the sample ( $p < 0.05$ ), and the concentration of 10% used sulfated polysaccharide had the highest foaming percentage (72/22%) and foam stability (62.22%) ( $p < 0.05$ ). The emulsifying property of extracted sulfate polysaccharide against soybean oil was higher in all concentrations used than sunflower oil ( $p < 0.05$ ), and the highest value of that was related to the concentration of 10% with 86.57% and 92.59% against sunflower oil and soybean oil ( $p < 0.05$ ). The obtained results demonstrated that the fish skin extracted polysaccharide can serve as a natural antioxidant and functional agent in the food industry.

**Keywords:** Rainbow trout (*Oncorhynchus mykiss*), Sulfated polysaccharide, Antioxidant properties, Foaming properties, Emulsifying properties.

## مقاله علمی- پژوهشی

# استخراج آنزیمی پلی ساکارید سولفات‌ها از پوست ماهی قزل‌آلای رنگین کمان (*Oncorhynchus mykiss*) و بررسی شیمیایی، خواص ضد اکسیدانی و کارکردی آن

شهاب نقدی<sup>۱</sup> - مسعود رضائی\*<sup>۲</sup> - مهدی عبدالهی<sup>۳</sup> - مهدی طبرسا<sup>۴</sup>

تاریخ دریافت: ۱۴۰۰/۰۷/۲۹

تاریخ بازنگری: ۱۴۰۰/۱۱/۱۷

تاریخ پذیرش: ۱۴۰۰/۱۱/۲۷

## چکیده

در مطالعه حاضر پلی ساکارید سولفات‌ها از پوست ماهی قزل‌آلای توسط آنزیم پپسین استخراج شد و آنالیزهای FTIR، کربوهیدرات، سولفات، یورونیک اسید و پروتئین آن انجام شد. نتایج آنالیز شیمیایی پلی ساکاریدهای استخراج شده نشان داد که بازده استخراج  $0.2 \pm 3/23\%$  بود، همچنین درصد کربوهیدرات و پروتئین نمونه به دست آمده  $2/56 \pm 57/03\%$  و  $43/7 \pm 7/78\%$  بود. همچنین مقدار سولفات و یورونیک اسید به ترتیب  $0.77 \pm 6/54\%$  و  $3/43 \pm 3/86\%$  بود. نتایج طیف‌سنجی مادون قرمز نشان داد یک پیک په‌ن در ناحیه  $3350$  تا  $3450$   $\text{cm}^{-1}$  مربوط به گروه OH- و باند خمشی سولفات S=O در ناحیه  $1245$   $\text{cm}^{-1}$  ظهور پیدا کرد. یک روند افزایشی و معنی‌دار در غلظت‌های مختلف مورد استفاده برای تست DPPH مشاهده شد ( $p < 0.05$ ) که بالاترین قدرت خنثی‌کنندگی ( $71/85\%$ ) در غلظت ۲ میلی‌گرم / میلی‌لیتر مشاهده شد. بالاترین درصد شلاته‌کنندگی رادیکال ABTS در غلظت ۴ میلی‌گرم بر میلی‌لیتر آب مقطر با درصد ( $71/70\%$ ) مشاهده شد ( $p < 0.05$ ). نتایج شلاته‌کنندگی یون‌های فروزین پلی ساکارید استخراج شده نشان داد که بالاترین درصد شلاته‌کنندگی  $98/43\%$  بود ( $p < 0.05$ ). ظرفیت کف‌کنندگی، خواص پایداری کف و ظرفیت امولسیون‌کنندگی نمونه مورد مطالعه حاکی از یک روند افزایشی با افزایش غلظت نمونه بود ( $p < 0.05$ ) و غلظت  $10\%$  پلی ساکارید سولفات‌ها استفاده شده بالاترین درصد کف‌کنندگی ( $72/22\%$ ) و پایداری کف ( $62/22\%$ ) را از خود نشان داده است ( $p < 0.05$ ). خاصیت امولسیون‌کنندگی پلی ساکارید سولفات‌ها استخراج شده در برابر روغن سویا در تمامی غلظت‌های استفاده شده بیشتر از روغن آفتابگردان بود ( $p < 0.05$ ) و بالاترین مقدار این خاصیت مربوط به غلظت  $10\%$  با عدد  $86/57\%$  و  $92/59\%$  به ترتیب در برابر روغن آفتابگردان و روغن سویا بود ( $p < 0.05$ ).

**واژه‌های کلیدی:** ماهی قزل‌آلای رنگین کمان (*Oncorhynchus mykiss*)، پلی ساکارید سولفات‌ها، ضد اکسیدانی، کف‌کنندگی، امولسیون‌کنندگی.

## مقدمه

فعال موجود در میوه‌جات و سبزی‌ها به مبارزه با بیماری‌های قلبی، سرطان، چاقی، دیابت و اختلال در دستگاه گوارش کمک می‌کند (Shahidi, 2012; Xu et al., 2017a). به تازگی مطالعات زیادی بر روی انواع مواد غذایی و فرآورده‌های طبیعی دیگر و بررسی این احتمال که آن‌ها منبع عوامل درمانی و پیشگیری‌کننده هستند، انجام شده است. در این رابطه گروهی از مواد غذایی که اگر به‌طور منظم و مناسب مصرف شوند علاوه بر خواص طبیعی خود، اثرات سلامت بخش نیز دارند فراسودمند نامیده می‌شوند (Odeleye et al., 2019). از اجزای زیست‌فعال که امروزه مورد توجه هستند می‌توان به پلی ساکاریدهای سولفات‌ها، ترکیبات آنتی‌اکسیدانی، پروتئین‌های هیدرولیز شده، اسیدهای چرب امگا ۳ و ۶ استخراج شده از منابع متنوع گیاهی و حیوانی اشاره کرد (Joana et al., 2013; Odeleye et al., 2019). برخی از منابع غذایی همانند ماهی و سایر آبزیان به‌خودی خود حاوی این ترکیبات ارزشمند بوده و تاثیرات سلامتی بخش آن‌ها بر

ترکیبات زیست‌فعال عناصر مغذی هستند که در مقادیر کم در غذا یافت می‌شوند. این ترکیبات علاوه بر تأثیری که در رشد و نمو انسان دارند نقش بسیار مهمی نیز در کاهش خطر بیماری‌ها نقش مهمی در سلامت و ایمنی جامعه ایفا می‌کنند. مصرف ترکیبات زیست

۱- دانشجوی دکتری، گروه فرآوری محصولات شیلاتی، دانشکده منابع طبیعی و علوم دریایی، دانشگاه تربیت مدرس، نور، ایران.

۲- استاد، گروه فرآوری محصولات شیلاتی، دانشکده منابع طبیعی و علوم دریایی، دانشگاه تربیت مدرس، نور، ایران.

۳- محقق، گروه زیست‌شناسی و مهندسی بیولوژیکی، علوم غذایی و تغذیه، دانشگاه صنعتی چالمرز، گوتنبرگ، سوئد.

۴- دانشیار، گروه فرآوری محصولات شیلاتی، دانشکده منابع طبیعی و علوم دریایی، دانشگاه تربیت مدرس، نور، ایران.

\* نویسنده مسئول: Email: rezai\_ma@modares.ac.ir  
DOI: 10.22067/IFSTRJ.2022.72999.1102

توجه به گرایش مصرف کننده‌ها به سمت ترکیبات زیست فعال دریایی به‌ویژه پلی‌ساکاریدهای سولفات‌ها صنعت نیز به این سمت و سو گرایش پیدا کرده است (Pomin & Mulloy, 2018). از همین رو توجه به تولید و استخراج بیش از قبل این ترکیبات در زندگی بشر احساس می‌شود. در مقیاس صنعتی پلی‌ساکاریدهای سولفات‌ها از پوست و استخوان خوک تهیه می‌شوند که محدودیت‌هایی در مصرف این محصولات در برخی کشورها وجود دارد که می‌توان به خطرات ناشی از انتقال آنفولانزای خوکی و همچنین حرام بودن گوشت خوک در برخی کشورهای اسلامی اشاره کرد (Arima et al., 2013). منابعی دیگری نیز برای تولید مشتقات متنوع پلی‌ساکاریدهای سولفات‌ها از قبیل کندرتین سولفات<sup>۵</sup> و درماتان سولفات<sup>۶</sup> وجود دارد که یکی از این منابع تاج مرغ است که دارای نقاط ضعفی مثل هزینه بالای تولید می‌باشد (Jridi et al., 2018; Arima et al., 2013). با توجه به معایب و نقص‌هایی که در منابع مورد استفاده برای پلی‌ساکاریدهای سولفات‌ها وجود دارد محققین و صنعت به دنبال یافتن یک منبع جایگزین مناسب و ارزان قیمت می‌باشند. صنعت شیلات با تولید ۱۶۷/۲ میلیون تن آبزیان در سال ۲۰۱۸، که سهم ایران ۹۴۷ هزار تن بوده است یک جایگزین بسیار مناسب برای تولید این ترکیبات است (FAO, 2018). در همین راستا باقی‌مانده‌های خام حاصل از فرآوری آبزیان که نزدیک به ۲۰ تا ۵۰ درصد وزن اولیه ماهی را شامل می‌شوند یکی از این منابع است که امروزه مورد توجه محققین قرار گرفته است (Zamora-Sillero et al., 2018). این میزان ضایعات به یک مشکل زیست محیطی مهم بدل شده است، ولی می‌توان به عنوان یکی از اصلی‌ترین منابع مورد استفاده در تولید پلی‌ساکاریدهای سولفات‌ها باشد. از همین رو هدف از مطالعه حاضر استخراج پلی-ساکاریدهای سولفات‌ها از پوست ماهی قزل‌آلا و بررسی ترکیبات شیمیایی، خواص ضداکسیدانی و کارکردی آنها بود.

## مواد و روش‌ها

### نمونه برداری و آماده‌سازی

نمونه‌های پوست ماهی قزل‌آلای رنگین کمان از فروشگاه‌های بازار ماهی فروشان شهرستان نور تهیه شد. سپس، نمونه‌ها پس از تهیه با نسبت ۱ به ۳ با یخ پوشیده شده و به دانشگاه منتقل شدند. سپس نمونه‌ها شسته شده و در ادامه چرخ شدند. در نهایت در بسته‌های پلاستیکی بسته‌بندی شده و تا زمان استفاده در فریزر ۱۸- درجه سانتی‌گراد نگهداری شدند.

### استخراج پلی‌ساکاریدهای سولفات‌ها

کسی پوشیده نیست. این مواد غذایی از گذشته مورد توجه مصرف کنندگان بوده‌اند اما در طی چند دهه اخیر به دلیل تحقیقاتی که بر روی بررسی اثرات مفید این مواد غذایی در سلامت بدن انجام شده است بیش از پیش مورد توجه محققان، مصرف‌کنندگان و نهایتاً صنعت قرار گرفته‌اند (Shahidi, 2012; Ye et al., 2018).

پلی‌ساکاریدها گروهی از ترکیبات زیست‌فعال هستند که از منابع متفاوتی تهیه می‌شوند. پلی‌ساکاریدها درشت مولکول‌های طبیعی هستند که معمولاً از بیش از ده مونوساکارید تشکیل شده است که مونوساکاریدهای تشکیل‌دهنده آن از طریق پیوندهای گلیکوزیدی به صورت خطی یا منشعب در کنار هم قرار گرفته‌اند که با توجه به طول زنجیره و تعداد مونوساکاریدهای تشکیل‌دهنده دارای وزن مولکولی متفاوتی نیز هستند (Xu et al., 2017; Xie et al., 2016). پلی-ساکاریدها مانند سایر ماکرومولکول‌های ضروری بدن مثل پروتئین‌ها و پلی‌نوکلئوتیدها برای فعالیت‌های روزمره بدن بسیار ضروری بوده و نیز نقش بسیار مهمی در ارتباطات سلول-سلول، چسبندگی سلول و شناسایی مولکول‌های شاخص در سیستم ایمنی ایفا می‌کنند (Yang, 2009; Dong et al., 2019; and Zhang, 2019). در سال‌های اخیر پلی-ساکاریدها از منابع طبیعی مختلفی از قبیل گیاهان، جلبک‌ها، حیوانات و قارچ‌ها مشتق شده‌اند و به دلیل برخی ویژگی‌های دارویی خود از قبیل خواص ضدالتهابی، ضداکسیدانی و ضدتوموری توجه بسیار زیادی را به خود معطوف کرده‌اند (Cho et al., Yu et al., 2018; 2015). ثابت شده است که آرابینوگالاکتان<sup>۱</sup>، گالاکتومانان<sup>۲</sup> و پلی-ساکاریدهای پکتیکی<sup>۳</sup> مشتق شده از گیاهان عالی، بتاگلوکان‌ها<sup>۴</sup>، گلیکوپروتئین‌های مشتق شده از قارچ‌ها پلی‌ساکاریدهای سولفات‌ها مشتق شده از گیاهان دریایی دارای خواص زیست‌فعلی مناسب می‌باشند (Gilar et al., 2011; Yu et al., 2018). دسته‌ای از پلی-ساکاریدهای مشتق شده از منابع دریایی پلی‌ساکاریدهای سولفات‌ها هستند. این دسته از پلی‌ساکاریدها یک شاخه گسترده از پلی-ساکاریدهای به‌دست آمده را به خود اختصاص می‌دهند. این ماکرومولکول‌ها به فراوانی در دیواره سلولی جلبک‌های دریایی یافت می‌شوند (Albofoteh et al., 2019). این ماکرومولکول‌ها با توجه به منبعی که از آن استخراج می‌شوند خواص زیست‌فعلی و کارکردی متفاوتی نیز دارند و همچنین نام‌های متفاوت برای آن‌ها در نظر گرفته شده است. از خواص زیست‌فعلی که در این ترکیبات مورد توجه قرار گرفته است می‌توان به خواص ضدالتهابی، ضداکسیدانی و ضدتوموری اشاره کرد (Cho et al., 2015; Yu et al., 2018). با

1 Arabinogalactan

2 Galactomannan

3 Pectic polysaccharides

4  $\beta$ -glucans

5 Chondroitin sulfate

6 Dermatan sulfate

شد. سپس ۳۰ دقیقه در دمای محیط نگهداری و جذب محلول در طول موج ۵۱۷ نانومتر توسط اسپکتروفتومتر (LAMBDA 365) خوانده شد. از اسید آسکوربیک به عنوان استاندارد برای مقایسه استفاده شد. از قدرت خنثی‌کنندگی رادیکال‌های آزاد DPPH نمونه‌ها طبق فرمول زیر محاسبه شد:

$$RSA = [1 - (A_{\text{sample}} - A_{\text{blank}}) / A_{\text{control}}] \times 100 \quad (1)$$

A sample: جذب نمونه بعد از زمان موردنظر (نمونه و محلول حاوی رادیکال‌های آزاد).

A control: جذب محلول حاوی رادیکال‌های آزاد بدون نمونه.

A sample blank: جذب نمونه بعد از زمان موردنظر (نمونه بدون محلول حاوی رادیکال‌های آزاد).

### فعالیت مهارکنندگی رادیکال آزاد ABTS<sup>1</sup>

فعالیت مهارکنندگی رادیکال آزاد ABTS پلی ساکارید استخراج شده با روش Borazjani و همکاران (۲۰۱۷) مورد بررسی قرار گرفت. به این صورت که در ابتدا برای تهیه محلول رادیکال پایدار ABTS ابتدا یک محلول ۷ مولار آن در آب مقطر تهیه شد. در ادامه به محلول پتاسیم پر سولفات ۲/۴۵ میلی مولار اضافه شده و در مکانی تاریک به مدت ۱۶ ساعت برای تشکیل کاتیون‌های سبز-آبی نگهداری شد. سپس محلول نهایی تا حدی رقیق شد که مقدار جذب آن به ۰/۷ در ۷۳۴ نانومتر برسد. در ادامه ۰/۵ میلی لیتر از غلظت‌های مختلف پلی ساکارید و اسید آسکوربیک (۱، ۲، ۳ و ۴ میلی گرم بر میلی لیتر) به ۱/۵ میلی لیتر از محلول ۰/۷ میلی مولار تهیه شده ABTS افزوده شد (Borazjani et al., 2017). به منظور کنترل واکنش از ترکیب ABTS و اتانول استفاده شد. محلول حاصل در میکروپلیت نگهداری شده و در انتها جذب آن در طول موج ۷۳۴ نانومتر خوانده شد. توانایی مهارکنندگی رادیکال آزاد ABTS بر طبق فرمول زیر محاسبه شد.

$$ABTS \text{ scavenging activity } (\%) = (A_c - A_s) / A_c \times 100 \quad (2)$$

که  $A_c$  جذب نمونه کنترل (۰/۵ میلی لیتر اتانول همراه با ۱/۵ میلی لیتر محلول ABTS و  $A_s$  به عنوان جذب نمونه می باشد.

### قدرت شلاته‌کنندگی یون‌های فروزین

برای اندازه‌گیری قدرت کاهندگی یون‌های فروزین برای نمونه پلی ساکاریدهای سولفات‌ها از روش Chew و همکاران (۲۰۰۸) استفاده شد. بدین منظور ابتدا ۲/۵ میلی لیتر بافر فسفات پتاسیم ۰/۱ مولار ( $pH = 6.6$ ) و ۲/۵ میلی لیتر فری سیانات پتاسیم ۱٪ با ۱ میلی لیتر بر

ابتدا ۱۰۰ گرم از نمونه‌های هموژن شده در ۵۰۰ میلی لیتر بافر هیدروکلریک اسید-پتاسیم کلراید ۵۰ میلی مولار pH معادل ۲ اضافه شد. سپس برای غیرفعال‌سازی آنزیم‌های داخلی ظرف حاوی نمونه به مدت ۲۰ دقیقه در دمای ۸۵ درجه سانتی‌گراد حرارت داده شدند. در ادامه بعد از تنظیم درجه حرارت مقدار ۱۰۰ میلی گرم آنزیم پپسین به مخلوط اضافه شده و مخلوط تهیه شده به مدت ۱۲ ساعت در دمای ۳۷ درجه سانتی‌گراد انکوباسیون شد. پس از طی این زمان به مخلوط اجازه داده شد تا دمای اتاق سرد شده، سپس سانتریفوژ شدند و در ادامه تحت خلا فیلتر شد. در ادامه برای استخراج پلی ساکاریدها به وسیله اتانول، ماده به دست آمده از عملکرد آنزیمی برای مدت ۳۰ دقیقه در دمای ۴ درجه سانتی‌گراد در سانتریفوژ در ۳۵۰۰ سانتریفوژ شد و لایه رویی جمع‌آوری شده و در اتانول ۹۶ درصد به مدت ۱۲ ساعت در دمای ۴ درجه سانتی‌گراد قرار گرفت و رسوب داده شد. بخش رسوب داده شده در آب مقطر ریخته شده و خشک‌کن انجمادی (FD-5003-BT) شد. لوله‌های فالتون پلی ساکاریدهای استخراج شده تا زمان استفاده بعدی در فریزر نگهداری شدند (Jridi et al., 2018).

### آنالیزهای شیمیایی

جهت تعیین محتوای عصاره‌های پلی ساکاریدی آنالیزهای شیمیایی تعیین کربوهیدرات کل با روش فنول-اسید سولفوریک انجام شد (Dubois et al., 1956). برای تعیین سولفات از روش ژلاتین-کلریدباریوم استفاده شد (Lloyd et al., 1960). مقدار پروتئین کل با روش Lowry تعیین شد (Lowry et al., 1951). تعیین مقدار یورونیک اسید با استفاده از هیدروکسی‌دی‌فنیل صورت گرفت (Bitter & Muir, 1962).

### طیف‌سنجی مادون قرمز با تبدیل فوریه (FTIR)

طیف FTIR پلی ساکاریدهای سولفات‌ها استخراج شده با استفاده از دستگاه FTIR اسپکتروفتومتر (IRTracer-100، شیمادزو) در گستره  $4000 - 400 \text{ cm}^{-1}$  و با تفکیک‌پذیری  $4 \text{ cm}^{-1}$  تعیین گردید (Jridi et al., 2018).

### غیرفعال کردن رادیکال آزاد DPPH

بررسی فعالیت آنتی‌اکسیدانی با استفاده از رادیکال‌های آزاد پایدار ۲ و ۲ دی فنیل ۱ پیکریل-هیدرازیل (DPPH) صورت پذیرفت (Guo et al., 2014). بدین منظور ۲ میلی گرم بر میلی لیتر از پلی ساکاریدهای سولفات‌ها به ۲ میلی لیتر از محلول متانولی ۰/۱۶ میلی مولار رادیکال آزاد DPPH افزوده و به مدت یک دقیقه تکان داده

$$FC = (i \text{ fv} / t \text{ sv}) \times 100 \quad (۵)$$

در اینجا  $i \text{ fv}$  حجم اولیه کف و  $t \text{ sv}$  حجم نهایی سوسپانسیون بود.

پایداری کف پس از ۳۰ دقیقه با فرمول زیر محاسبه شد.

$$FS = (f \text{ fv} / t \text{ sv}) \times 100 \quad (۶)$$

که در فرمول بالا  $f \text{ fv}$  حجم نهایی کف پس از ۳۰ دقیقه بوده و  $t \text{ sv}$  حجم اولیه کف می‌باشد.

### تجزیه تحلیل آماری داده‌ها

برای طراحی آزمایشات از طرح کاملاً تصادفی استفاده شد. تجزیه تحلیل داده‌ها با استفاده از نرم‌افزار SPSS ۲۲ انجام شد. برای مقایسه کلی پارامترها همچنین از آزمون تجزیه واریانس یک طرفه (ANOVA) و برای مقایسه میانگین داده‌ها از آزمون دانکن (در سطح ۵ درصد) سپس برای رسم نمودارها از نرم‌افزار Excel ۲۰۱۶ استفاده شد.

### نتایج و بحث

#### آنالیز شیمیایی پلی‌ساکارید سولفات استخراج شده

نتایج آنالیز شیمیایی پلی‌ساکاریدهای استخراج شده از پوست ماهی قزل‌آلا در جدول ۱ نمایش داده شده است. بازده استخراج ۰/۰۲ ± ۳/۲۳٪ بود. مقدار بازده پلی‌ساکارید استخراج شده از صدف *Solen marginatus* در مطالعه Souissi و همکاران (۲۰۱۹) ۳/۵۳٪ بود (Souissi et al., 2019). در مطالعه Jridi و همکاران (۲۰۱۹) که به استخراج پلی‌ساکاریدهای سولفات از قسمت پوست و ماهیچه ماهی مرکب پرداختند گزارش کردند که درصد استخراج از قسمت پوست و عضله به ترتیب ۱/۶ و ۸/۶٪ بود (Jridi et al., 2019). مقدار کربوهیدرات و پروتئین نمونه بدست آمده نزدیک به مقادیر بدست آمده در مطالعات Jridi و همکاران (۲۰۱۹) و Souissi و همکاران (۲۰۱۹) بود (Souissi et al., 2019; Jridi et al., 2019). همین روال نیز برای مقادیر سولفات و یورونیک اسید مشاهده شد. محققان بیان کردند که عامل اصلی اختلاف در مقدار پلی‌ساکاریدهای سولفات از منابع مختلف نوع منبعی است که برای استخراج مورد استفاده قرار می‌گیرد. این منابع علاوه بر درصد پلی‌ساکارید سولفات می‌توانند در سایر اجزای شیمیایی نیز متفاوت باشند. در مطالعه‌ای دیگر این موضوع مشخص شد که علاوه بر تاثیر کلیدی نوع منبع مورد استفاده برای استخراج پلی‌ساکاریدهای سولفات، روش استخراج و خلص سازی این ترکیبات بر خواص شیمیایی و ترکیبات شیمیایی پلی-ساکارید استخراج شده تاثیر دارد (Alboofetileh et al., 2019).

گرم از نمونه مخلوط شد. این محلول در دمای ۵۰ درجه سانتی‌گراد و به مدت ۲۰ دقیقه نگهداری شد. سپس به این محلول ۲/۵ میلی‌لیتر اسید تری کلرو استیک ۱۰٪ اضافه شده و به مدت ۱۰ دقیقه در ۳۰۰۰ rpm سانتریفوژ شد. در ادامه ۲/۵ میلی‌لیتر آب و ۰/۵ میلی‌لیتر کلرید آهن (FeCl<sub>3</sub>) ۰/۱٪ به ۲/۵ میلی‌لیتر از مخلوط اضافه شد. سپس این محلول در دمای ثابتی به مدت ۳۰ دقیقه نگهداری شده تا در آن ایجاد رنگ صورت بپذیرد. بعد از این مدت جذب نمونه‌ها در ۷۰۰ نانومتر خوانده شد. برای رسم منحنی استاندارد از محلول اسید تانیک در غلظت‌های صفر تا ۲۵۰ میکروگرم بر میلی‌لیتر استفاده شد. قدرت شلاته‌کنندگی آهن بر حسب میلی‌گرم اسید تانیک بر گرم پودر باقی‌مانده‌های حاصل از فراوری خشک شده بیان شد. از اسید آسکوربیک به‌عنوان استاندارد برای مقایسه استفاده شد (Chew et al., 2008).

$$\text{Metal chelating activity (\%)} = \frac{[(\text{ODC} + \text{ODB} - \text{ODS}) / \text{ODC}] \times 100}{\quad} \quad (۳)$$

که در فرمول بالا ODC، ODB و ODS به ترتیب جذب نمونه شاهد، جذب نمونه بلانک (کنترل مثبت که حاوی محلول رادیکال بوده و به جای پلی‌ساکارید آب مقطر استفاده شد) و جذب نمونه واکنش است.

#### خواص امولسیفایری

خواص امولسیفایری پلی‌ساکاریدهای سولفات استخراج شده از طریق توانایی آنها برای تثبیت چند ترکیب آبریز مورد بررسی قرار گرفت. محلول پلی‌ساکارید با نسب وزنی- حجمی ۱، ۵ و ۱۰٪ با هر کدام از ترکیبات آبریز ترکیب شده و با همزن مغناطیسی مدل MS200 با سرعت ۳۰۰ rpm به مدت ۲ دقیقه کاملاً هم زده شد. پس از ۲۴ ساعت شاخص امولسیفایری (E24) از طریق فرمول زیر محاسبه شد.

$$E24 = (\text{He} / \text{Ht}) \times 100 \quad (۴)$$

که در فرمول بالا He بیانگر ارتفاع امولسیون و Ht بیانگر ارتفاع کل محلول می‌باشد. ترکیبات آبریز مورد استفاده شامل روغن سویا و روغن آفتابگردان بودند (Gomaa et al., 2018).

#### خصوصیات کف‌کنندگی

مقدار ۱۵۰ میلی‌لیتر از محلول‌های ۱، ۵ و ۱۰٪ وزنی- حجمی پلی‌ساکاریدهای سولفات با استفاده از هموژنایزر پروب‌دار مدل KTG و با سرعت ۹۰۰۰ دور بر دقیقه به مدت ۲ دقیقه هموژن شد. خواص کف‌کنندگی آن‌ها بعد از ۳۰ ثانیه با فرمول زیر محاسبه شد (Sciarini et al., 2009).



جدول ۱- آنالیز شیمیایی پلی ساکارید سولفات استخراج شده

Table 1- Chemical analysis of extracted sulfated polysaccharide

بازده استخراج (%)	پروتئین (%)	کربوهیدرات (%)	سولفات (%)	یورونیک اسید (%)
Extraction yield (%)	Protein (%)	Carbohydrate (%)	Sulfate (%)	Uronic acid (%)
3.23± 0.02	7.78± 0.43	57.03± 2.56	6.54± 0.77	3.86± 0.42

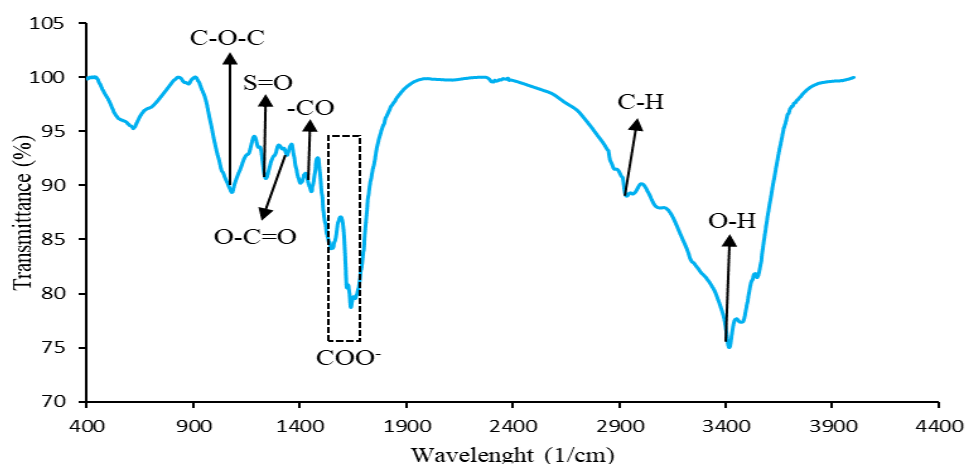
تعداد تکرار آزمایشات ۳ بار بود. اعداد بر اساس میانگین ± انحراف از معیار بیان شده‌اند.

The experiments were repeated 3 times. The data are expressed as mean ± standard deviation.

۱۴۸۰ تا  $1640\text{ cm}^{-1}$  مربوط به گروه عاملی  $\text{COO}^-$  است (Souissi et al., 2019). باندهای خمشی سولفات  $\text{S=O}$  در ناحیه  $1245\text{ cm}^{-1}$  ظهور پیدا کرد (Jridi et al., 2019). پیک‌های ظاهر شده در ناحیه  $1385$  و  $1450\text{ cm}^{-1}$  به ترتیب مربوط به باند کششی  $\text{O-C=O}$  و ارتعاش کششی  $\text{-CO}$  در گروه  $\text{COOH}$  است (Jridi et al., 2019). باند ناحیه  $1077\text{ cm}^{-1}$  مربوط به باند ارتعاشی  $\text{C-O-C}$  است (Shen et al., 2019).

### نتایج طیف‌سنجی مادون قرمز (FTIR) پلی ساکارید استخراج شده

نتایج طیف‌سنجی مادون قرمز پلی ساکاریدهای سولفات به دست آمده در محدوده  $400$  تا  $4000\text{ cm}^{-1}$  در شکل ۱ نمایش داده شده‌اند. همانطوری که از شکل‌ها پیداست تفاوت معنی‌داری در جابه‌جایی پیک‌ها مشاهده نشده است و مشابه هستند. با این حال پیک پهن در ناحیه بین  $3350$  تا  $3450\text{ cm}^{-1}$  مربوط به گروه  $\text{-OH}$  و باند ضعیف ناحیه  $2900\text{ cm}^{-1}$  مربوط به گروه عاملی  $\text{C-H}$  می‌باشد (Souissi et al., 2019; Alboofetileh et al., 2018).



شکل ۱- طیف FTIR پلی ساکارید سولفات استخراج شده از پوست ماهی قزل‌آلای رنگین کمان  
Fig. 1. FTIR spectrum of sulfated polysaccharide extracted from rainbow trout skin

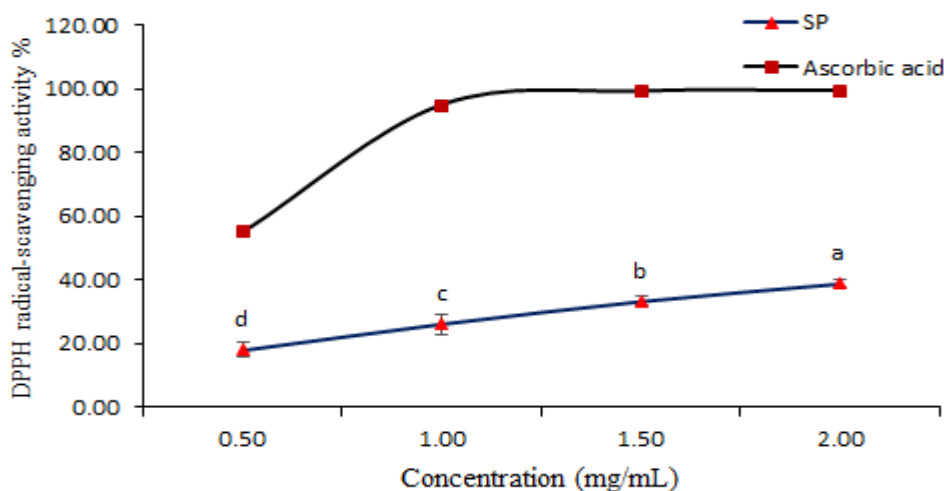
(Souissi et al., 2019). در این تست، ترکیبات زیست‌فعال مانند پلی ساکارید، پروتئین و لیپید توسط هیدروژن اهداءکننده می‌توانند با اهدای الکترون به رادیکال آزاد DPPH ظرفیت آنتی‌اکسیدانی خود را نشان دهند (Souissi et al., 2019; Jridi et al., 2019). نتایج مطالعه حاضر هم راستا با نتایج به دست آمده در مطالعه Souissi و همکاران (۲۰۱۹) بود، که در آن مطالعه محققین به استخراج و بررسی خواص مختلف پلی ساکارید سولفات استخراج شده صدف (Solen marginatus) پرداختند (Souissi et al., 2019). نتایج آنها نشان داد که پس از غلظت ۲ میلی‌گرم/ میلی‌لیتر روند افزایشی خاصیت

### غیرفعال کردن رادیکال آزاد (DPPH) پلی ساکارید سولفات استخراج شده از پوست ماهی قزل‌آلای رنگین کمان

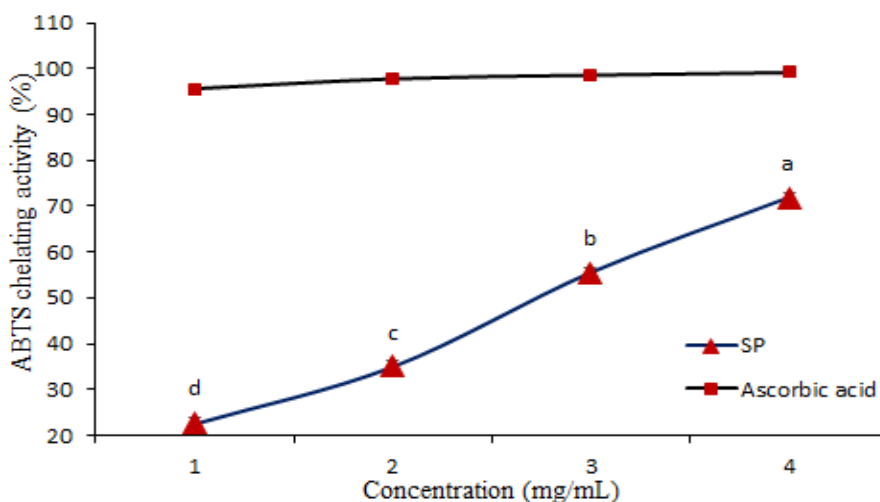
همانطور که از شکل ۲ پیداست یک روند افزایشی و معنی‌دار در غلظت‌های مختلف مورد استفاده برای این آزمایش مشاهده شد ( $p < 0.05$ ) که بالاترین قدرت خنثی‌کنندگی پلی ساکاریدهای سولفات به دست آمده در غلظت ۲ میلی‌گرم بر میلی‌لیتر مشاهده شد. تست رادیکال DPPH یکی از تست‌های آنتی‌اکسیدانی معمولی است که بر اساس رادیکال آزاد پایدار است که در این تست حداکثر جذب در ۵۱۷ نانومتر نشان داده خواهد شد (Jridi et al., Rjeibi et al., 2019).

همسو با نتایج حاضر بود (Jridi et al., 2019). جالب توجه است که محققین ویژگی مهارکنندگی رادیکال‌های آزاد DPPH پلی‌ساکارید سولفات را با محتوای سولفات، نسبت مولی محتوای سولفات به فوکوز و وزن مولکولی مرتبط دانسته‌اند (Alboofetileh et al., 2019; Bhuyar et al., 2020).

ضداکسیدانی بر علیه رادیکال‌های آزاد DPPH متوقف شده و یک روند ثابت شکل گرفت که با افزایش بیشتر غلظت درصد خنثی‌کنندگی به بالاتر از ۶۰٪ نرسید. Jridi و همکاران (۲۰۱۹) به استخراج و بررسی خواص آنتی‌اکسیدانی پلی‌ساکاریدهای سولفات از پوست و گوشت ماهی مرکب پرداختند که نتایج تست DPPH آنها



شکل ۲- نمودار آنالیز خنثی‌کنندگی رادیکال آزاد (DPPH) پلی‌ساکارید سولفات استخراج شده از پوست ماهی قزل‌آلای رنگین کمان  
 Fig. 2. Analysis diagram of DPPH radical-scavenging activity of sulfated polysaccharide extracted from the skin of rainbow trout



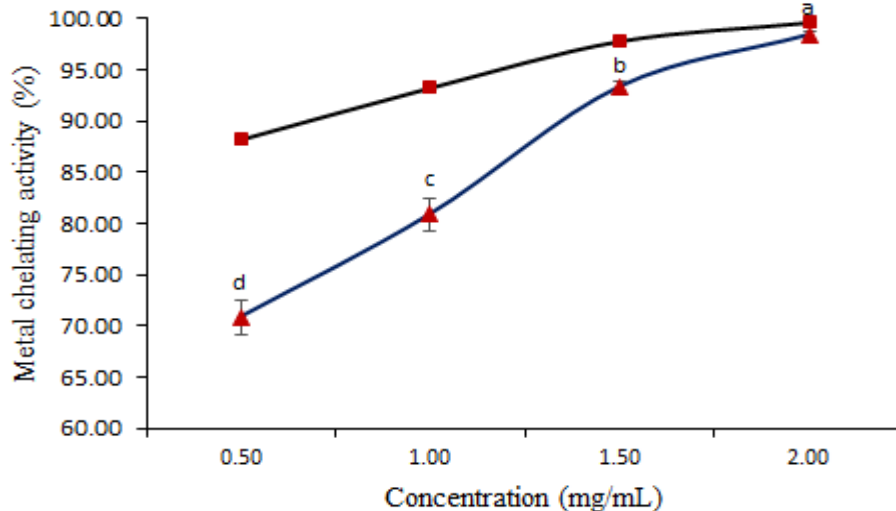
شکل ۳- نمودار آنالیز تست ABTS پلی‌ساکارید سولفات استخراج شده از پوست ماهی قزل‌آلای رنگین کمان  
 Fig. 3. Analysis diagram of %ABTS Chelating Activity of sulfated polysaccharide extracted from the skin of rainbow trout

گسترده‌ای برای ترکیبات چربی دوست و آبدوست دارد (Li & Wang, 2016). همانطور که از شکل ۳ پیداست یک روند افزایشی وابسته به غلظت قابل مشاهده است که بالاترین درصد شلاته‌کنندگی رادیکال ABTS در غلظت ۴ میلی‌گرم بر میلی‌لیتر آب مقطر دیده شد ( $p < 0.05$ ). بر اساس مطالعات گذشته مشخص شده است که فعالیت شلاته‌کنندگی رادیکال ABTS پلی‌ساکاریدها می‌تواند به عوامل

شلاته‌کنندگی رادیکال ABTS پلی‌ساکارید سولفات استخراج شده از پوست ماهی قزل‌آلای رنگین کمان رادیکال ABTS یک رادیکال پایدار مصنوعی بوده که به دلیل حساسیت بالا برای ارزیابی فعالیت آنتی‌اکسیدانی ترکیبات مختلف بکار می‌رود. این روش بر مبنای احیاء رادیکال کاتیون ( $ABTS^{+}$ ) بوده که جذب بالایی در ۷۳۴ نانومتر دارد، همچنین این روش کاربرد



ارزیابی قدرت احیاکنندگی، توانایی الکترون‌دهندگی یک ترکیب را نشان می‌دهد. در این ارزیابی، اغلب میزان احیاکنندگی آهن III به عنوان نشانگر این توانایی استفاده می‌شود. اگر ترکیبی این ویژگی را داشته باشد، باعث کاهش ترکیبات حد واسطه اکسید شده طی مراحل پراکسیداسیون لیپید می‌شود. به این ترتیب باعث شکستن زنجیره این واکنش شده و می‌تواند به‌عنوان آنتی‌اکسیدان اولیه و ثانویه عمل کند، همچنین سنجش قدرت احیاکنندگی با استفاده از احیا آهن (III) به آهن (II) انجام می‌شود (Pan et al., 2019).



شکل ۴- نمودار فعالیت شلاته‌کنندگی یون‌های آهن پلی ساکارید سولفات‌ها استخراج شده از پوست ماهی قزل‌آلای رنگین کمان  
Fig. 4. Diagram of metal chelating activity of sulfated polysaccharide extracted from the skin of rainbow trout.

مربک پرداخته شده بود محققین اذعان کردند که محتوای سولفات موجود در پلی ساکارید تاثیر بسیار مهمی در احیاءکنندگی یون‌های آن دارد (Jridi et al., 2019). علاوه بر مقدار سولفات پلی ساکاریدهای استخراج شده مشخص شده که حضور گالاکتورونیک اسید نقش مهمی در خواص ضداکسیدانی پلی ساکاریدها دارد (Chang et al., 2010).

**فعالیت کف‌کنندگی و پایداری کف پلی ساکارید سولفات‌ها**  
استخراج شده از پوست ماهی قزل‌آلای رنگین کمان  
تشکیل کف و پایداری آن در بسیاری از صنایع نظیر صنایع غذایی و شیمیایی بسیار حائز اهمیت است به همین دلیل در صنعت به دنبال یافتن ترکیبات طبیعی با این خاصیت هستند. به‌طور کلی تعریف کف عبارت است از انتشار فاز پراکنده (معمولاً هوا) به یک فاز پیوسته که ویژگی‌های کف تشکیل شده در مواد غذایی توسط پلی ساکاریدها و پروتئین‌ها می‌تواند نقش مهمی در تکنولوژی مواد غذایی به‌عنوان عوامل کفزا ایجاد کنند (Li et al., 2019 ; Chen et al., 2019).

مختلفی از قبیل وزن مولکولی (Li & Wang, 2016)، مقدار سولفات (Khan et al., 2019) مرتبط باشد. در همین راستا نیز به این موضوع اشاره شده است که روش‌های استخراج این ترکیبات بر خواص شلاته‌کنندگی رادیکال ABTS نمونه‌ها تاثیر بسیار مهمی دارد که این تاثیر را به حضور مقادیر مختلف اجزای شیمیایی موجود در پلی ساکارید و میزان تخلیص این ترکیبات نسبت داده‌اند (Grina et al., 2020).

**فعالیت شلاته‌کنندگی یون‌های فروزین پلی ساکارید سولفات‌ها استخراج شده از پوست ماهی قزل‌آلای رنگین کمان**

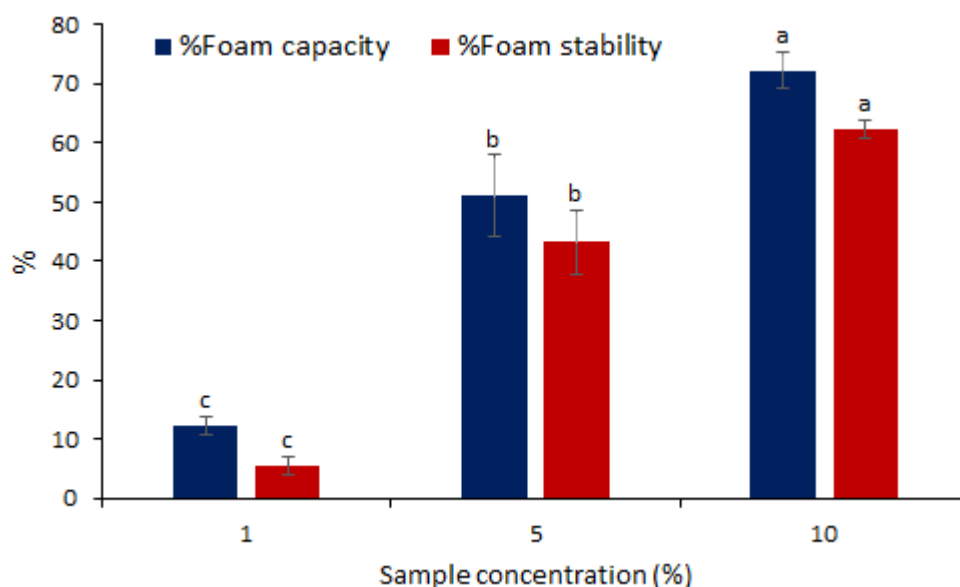
نتایج حاصل از این آزمایش نشان داد که قدرت احیاءکنندگی یون‌های فروزین وابسته به دوز استفاده شده برای پلی ساکاریدهای سولفات‌ها بود به‌صورتی که با افزایش غلظت نمونه‌ها مقدار این خواص افزایش پیدا کرد و بالاترین مقدار آن در غلظت ۲ میلی‌گرم بر میلی لیتر آب مقطر بود و همچنین اختلاف معنی‌داری بین نمونه‌ها مشاهده شد ( $p < 0.05$ ). این نتایج هم‌راستا و همسو با نتایج به‌دست آمده در مطالعات Hamzaoui و همکاران (۲۰۲۰) بود که در آن مطالعه محققین به بررسی خواص ضداکسیدانی و کارکردی پلی ساکاریدهای سولفات‌ها استخراج شده از گیاه آبی *Chaetomorpha linum* پرداختند. بر اساس مطالعات گسترده‌ای که به بررسی خواص احیاءکنندگی پلی ساکاریدهای سولفات‌ها انجام شده این موضوع بخوبی مشخص شده است که خواص احیاءکنندگی این ترکیبات با افزایش وزن مولکولی افزایش می‌یابد

(Soua et al., Hamzaoui et al., 2020; Qi et al., 2005)

؛ (2020). در مطالعه‌ای که به بررسی خواص ضداکسیدانی پلی ساکاریدهای سولفات‌ها استخراج شده از پوست و گوشت ماهی

(۲۰۲۰) است (Romdhane et al., 2017; Souza et al., 2020). در مطالعه Zhu و همکاران (۲۰۱۷) مشخص شد که بالاترین ویژگی کف‌کنندگی و پایداری کف در پلی‌ساکارید استخراج شده به ترتیب ۹۲٪ و ۸۰٪ بود که اندکی بالاتر از نتایج به دست آمده در مطالعه حاضر بود، همچنین بیان کردند که بالا بودن این ویژگی‌ها به بالا بودن محتوای پروتئین پلی‌ساکاریدها نسبت دادند (Zhu et al., 2017). در مطالعه Ghribi و همکاران (۲۰۱۵) بالاترین خواص کف‌کنندگی و پایداری کف پلی‌ساکارید استخراج شده از chickpea به ترتیب ۹۱/۱۶٪ و ۷۹/۸۲٪ بود. با توجه به ویژگی خوب کف‌کنندگی و پایداری کف ایجاد شده توسط پلی‌ساکاریدهای استخراج شده می‌توان پیشنهاد داد که این پلی‌ساکاریدها قابلیت کاربرد صنعتی را در صنایع غذایی دارا هستند (Ghribi et al., 2015).

پلی‌ساکاریدها از اجزایی هستند که کاربردهای گسترده‌ای به عنوان عوامل کف‌زا در صنایع مختلف دارا هستند (Trigui et al., 2018). همانطوریکه از شکل ۵ پیداست یک روند افزایشی با افزایش غلظت پلی‌ساکارید سولفات استخراج شده بدست آمده است که به تناسب آن نیز پایداری کف ایجاد شده روند افزایشی در ایجاد کف نشان داده است ( $p < 0.05$ ). غلظت ۱۰٪ پلی‌ساکارید سولفات استفاده شده بالاترین درصد کف‌کنندگی (۷۲/۲۲٪) و پایداری کف (۶۲/۲۲٪) را از خود نشان داده است. دلایل این نتایج را می‌توان به بهبود ویسکوزیته محلول‌های ایجاد شده توسط پلی‌ساکاریدهای سولفات نسبت داد، در واقع می‌توان این استدلال را بیان کرد که حضور پلی‌ساکاریدها در غلظت‌های بالاتر باعث پایداری ارتباط بین سطح کف تولید شده و محلول زیر آن شده است که این نتایج همراستا و هم‌سو با گزارشات Romdhane و همکاران (۲۰۱۷) و Souza و همکاران



شکل ۵- نمودار فعالیت کف‌کنندگی و پایداری کف پلی‌ساکارید سولفات استخراج شده از پوست ماهی قزل‌آلای رنگین کمان  
Fig. 5. Chart of foaming activity and foam stability of sulfated polysaccharide extracted from the skin of rainbow trout

آفتابگردان و روغن سویا به منظور بررسی خواص امولسیون‌کنندگی پلی‌ساکارید سولفات به دست آمده در غلظت‌های مختلف استفاده شد. در تمام غلظت‌های استفاده شده علی‌رغم اختلاف بسیار کم اما خواص امولسیون‌کنندگی برای روغن سویا بالاتر بود ( $p < 0.05$ ). Leroux و همکاران (۲۰۰۳) که به بررسی خواص امولسیون‌کنندگی پکتین پرداخته بود بیان کردند که توانایی امولسیون‌کنندگی پلی‌ساکاریدها به دلیل حضور مقادیر بسیار ناچیز پروتئین است که به طور کموالانی به ساختار پلی‌ساکاریدها متصل شده است (Leroux et al., 2003). که این امر با توجه به حضور ۷/۷۸٪ پروتئین در پلی‌ساکارید

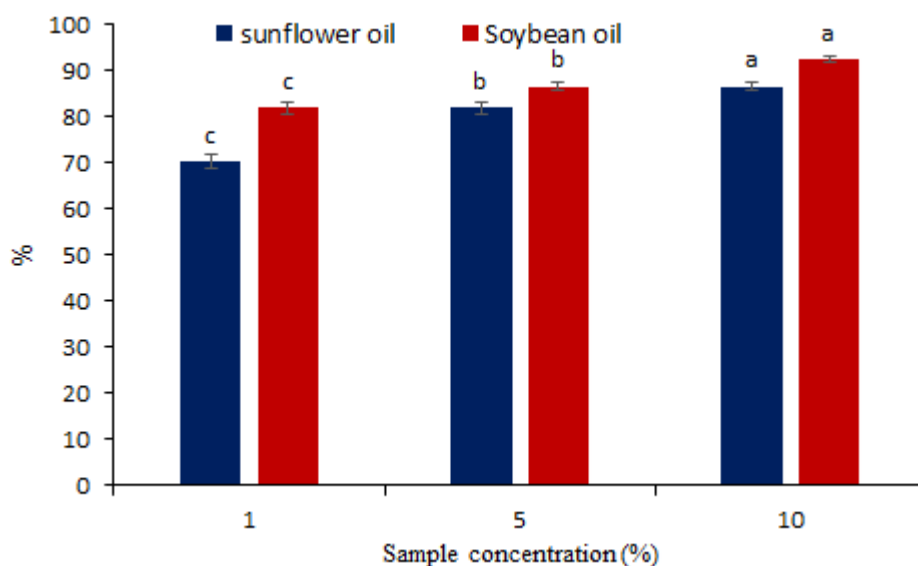
#### فعالیت امولسیون‌کنندگی پلی‌ساکارید سولفات استخراج

##### شده از پوست ماهی قزل‌آلای رنگین کمان

امولسیون‌ها سامانه‌های متشکل از دو مایع (معمولاً آب و روغن) غیرقابل امتزاج هستند که از نظر ترمودینامیکی ناپایدار می‌باشند (Wang et al., 2019). این سامانه‌ها اساس بسیاری از محصولات غذایی را تشکیل می‌دهند. مولکول‌های زیستی نظیر پروتئین‌ها و برخی از پلی‌ساکاریدها به عنوان امولسیون‌کننده و پایدارکننده‌های طبیعی برای پایداری سامانه‌های امولسیون مورد استفاده قرار گرفته‌اند (Saravana et al., 2016). در مطالعه حاضر از دو نوع روغن

دلیل این امر وجود مقادیر زیادی پلی ساکارید است که می تواند سطح مشترک روغن-آب را کاملاً اشباع کند و در نتیجه باعث پوشش سطح بالاتر می شود (Zhu et al., 2017).

سولفات‌ها استخراج شده قابل توجه است. روند افزایشی ظرفیت امولسیون‌کنندگی که متناسب با افزایش غلظت نمونه‌ها مشاهده شد مشابه نتایج به‌دست آمده با مطالعه Zhu و همکاران (۲۰۱۷) بود که



شکل ۶- نمودار فعالیت امولسیون‌کنندگی پلی ساکارید سولفات‌ها استخراج شده از پوست ماهی قزل‌آلای رنگین کمان  
 Fig. 6. Chart of emulsifying activity of sulfated polysaccharide extracted from the skin of rainbow trout

می‌شود. با توجه به نتایج ارائه شده در قسمت‌های مختلف می‌توان این ادعا را کرد که پلی‌ساکاریدهای سولفات‌ها استخراج شده از پوست ماهی قزل‌آلای رنگین کمان پتانسیل کاربرد به‌عنوان مکمل‌های تغذیه‌ای ضداکسیدانی و عوامل امولسیون‌ساز و کف‌کننده در صنایع غذایی را دارد.

### تشکر و قدردانی

نویسندگان از حمایت‌های مالی و معنوی صندوق حمایت از پژوهشگران کشور (شماره طرح ۹۹۰۰۳۹۳۲) و دانشگاه تربیت مدرس (IG-39804) کمال تشکر و قدردانی را دارند.

### نتیجه‌گیری

در مطالعه حاضر پلی‌ساکارید سولفات‌ها از قسمت پوست باقی مانده‌های خام حاصل از فرآوری ماهی قزل‌آلای رنگین کمان (*Oncorhynchus mykiss*) با محتوای بالایی از کربوهیدرات و سولفات به‌وسیله رسوبدهی با اتانول استخراج شد. پلی‌ساکاریدهای سولفات‌ها استخراج شده پتانسیل آنتی‌اکسیدانی بالایی را نشان دادند و می‌توانند از انتشار واکنش‌های زنجیره‌ای رادیکال‌های آزاد از طریق اهدای هیدروژن (الکترون) جلوگیری کنند. پلی‌ساکارید سولفات‌ها خواص کف‌کنندگی و امولسیون‌کنندگی بسیار خوبی را نیز از خود نشان دادند. به‌طور کلی می‌توان ادعا کرد که خواص مختلفی که در پلی‌ساکاریدهای سولفات‌ها استخراج شده مشاهده می‌شود به حضور مقادیر مختلف کربوهیدرات، سولفات، یورونیک اسید و پروتئین مربوط

### منابع

1. Alboofetileh, M., Rezaei, M., & Tabarsa, M. (2018). Enzyme-assisted extraction of *Nizamuddinina zanardinii* for the recovery of sulfated polysaccharides with anticancer and immune-enhancing activities. *Journal of Applied Phycology*. <https://doi.org/10.1007/s10811-018-1651-7>
2. Alboofetileh, M., Rezaei, M., Tabarsa, M., & You, S. (2019). Bioactivities of *Nizamuddinina zanardinii* sulfated polysaccharides extracted by enzyme, ultrasound and enzyme-ultrasound methods. *Journal of Food Science and Technology*. <https://doi.org/10.1007/s13197-019-03584-1>
3. Arima, K., Fujita, H., Toita, R., Imazu-Okada, A., Tsutsumishita-Nakai, N., Takeda, N., Nakao, Y., Wang, H., Kawano, M., Matsushita, K., Tanaka, H., Morimoto, S., Nakamura, A., Kitagaki, M., Hieda, Y., Hatto, R., Watanabe, A., Yumura, T., Okuhara, T., ... Tamura, J. I. (2013). Amounts and compositional analysis of

- glycosaminoglycans in the tissue of fish. *Carbohydrate Research*, 366, 25–32. <https://doi.org/10.1016/j.carres.2012.11.010>
4. Bitter, T., & Muir, H. M. (1962). A modified uronic acid carbazole reaction. In *Analytical Biochemistry* (Vol. 4, Issue 4, pp. 330–334). [https://doi.org/10.1016/0003-2697\(62\)90095-7](https://doi.org/10.1016/0003-2697(62)90095-7)
  5. Borazjani, N. J., Tabarsa, M., You, S. G., & Rezaei, M. (2017). Effects of extraction methods on molecular characteristics, antioxidant properties and immunomodulation of alginates from *Sargassum angustifolium*. *International Journal of Biological Macromolecules*, 101, 703–711. <https://doi.org/10.1016/j.ijbiomac.2017.03.128>
  6. Chang, S. C., Hsu, B. Y., & Chen, B. H. (2010). Structural characterization of polysaccharides from *Zizyphus jujuba* and evaluation of antioxidant activity. *International Journal of Biological Macromolecules*, 47(4), 445–453. <https://doi.org/10.1016/j.ijbiomac.2010.06.010>
  7. Chen, G., Fang, C., Chen, X., Wang, Z., Liu, M., & Kan, J. (2019). High-pressure ultrasonic-assisted extraction of polysaccharides from *Mentha haplocalyx*: Structure, functional and biological activities. *Industrial Crops and Products*, 130(October 2018), 273–284. <https://doi.org/10.1016/j.indcrop.2018.12.086>
  8. Chew, K. K., Ng, S. Y., Thoo, Y. Y., Khoo, M. Z., Wan Aida, W. M., & Ho, C. W. (2011). Effect of ethanol concentration, extraction time and extraction temperature on the recovery of phenolic compounds and antioxidant capacity of *Centella asiatica* extracts. *International Food Research Journal*, 18(2), 571–578.
  9. Cho, C. W., Han, C. ji, Rhee, Y. K., Lee, Y. C., Shin, K. S., Shin, J. S., Lee, K. T., & Hong, H. Do. (2015). Cheonggukjang polysaccharides enhance immune activities and prevent cyclophosphamide-induced immunosuppression. *International Journal of Biological Macromolecules*, 72, 519–525. <https://doi.org/10.1016/j.ijbiomac.2014.09.010>
  10. Dong, X., Duan, X., Sun, Z., Zhang, X., Li, C., Yang, S., Ren, B., Zheng, S., & Dionysiou, D. D. (2019). Structural characterization and antioxidant activities of a water soluble polysaccharide isolated from *Glycyrrhiza glabra*. “Applied Catalysis B, Environmental,” 118214. <https://doi.org/10.1016/j.apcatb.2019.118214>
  11. Dubois, M., Gilles, K. A., Hamilton, J. K., Rebers, P. A., & Smith, F. (1956). Colorimetric Method for Determination of Sugars and Related Substances. *Analytical Chemistry*, 28(3), 350–356. <https://doi.org/10.1021/ac60111a017>
  12. FAO (2018). Yearbook of Fishery Statistics, Statistics and Information Service, FAO Fisheries and Aquaculture Department. Viale delle Terme di Caracalla 00153, Rome: *Food and Aquaculture Organization of the United Nations*. <http://www.fao.org/fishery/statistics/en> .
  13. Ghribi, A. M., Sila, A., Gafsi, I. M., Blecker, C., Danthine, S., Attia, H., ... & Besbes, S. (2015). Structural, functional, and ACE inhibitory properties of water-soluble polysaccharides from chickpea flours. *International Journal of Biological Macromolecules*, 75, 276–282. <https://doi.org/10.1016/j.ijbiomac.2015.01.037>
  14. Gilar, M., Yu, Y. Q., Ahn, J., Xie, H., Han, H., Ying, W., & Qian, X. (2011). Characterization of glycoprotein digests with hydrophilic interaction chromatography and mass spectrometry. *Analytical Biochemistry*, 417(1), 80–88. <https://doi.org/10.1016/j.ab.2011.05.028>
  15. Gomaa, M., Hifney, A. F., Fawzy, M. A., & Abdel-Gawad, K. M. (2018). Use of seaweed and filamentous fungus derived polysaccharides in the development of alginate-chitosan edible films containing fucoidan: Study of moisture sorption, polyphenol release and antioxidant properties. In *Food Hydrocolloids* (Vol. 82). Elsevier Ltd. <https://doi.org/10.1016/j.foodhyd.2018.03.056>
  16. Grina, F., Ullah, Z., Kaplaner, E., Moujahid, A., Eddoha, R., Nasser, B., Terzioğlu, P., Yilmaz, M. A., Ertaş, A., Öztürk, M., & Essamadi, A. (2020). In vitro enzyme inhibitory properties, antioxidant activities, and phytochemical fingerprints of five Moroccan seaweeds. *South African Journal of Botany*, 128, 152–160. <https://doi.org/10.1016/j.sajb.2019.10.021>
  17. Guo, L., Zhu, W., Xu, F., Liu, M., Xie, Y., & Zhang, J. (2014). Optimized ultrasonic-assisted extraction of polysaccharides from *Cyclina sinensis* and evaluation of antioxidant activities in vitro. *CYTA- Journal of Food*, 12(1), 32–39. <https://doi.org/10.1080/19476337.2013.785982>
  18. Hamzaoui, A., Ghariani, M., Sellem, I., Hamdi, M., Feki, A., Jaballi, I., Nasri, M., & Amara, I. Ben. (2020). Extraction, characterization and biological properties of polysaccharide derived from green seaweed “*Chaetomorpha linum*” and its potential application in Tunisian beef sausages. *International Journal of Biological Macromolecules*, 148, 1156–1168. <https://doi.org/10.1016/j.ijbiomac.2020.01.009>
  19. Joana Gil-Chávez, G., Villa, J. A., Fernando Ayala-Zavala, J., Basilio Heredia, J., Sepulveda, D., Yahia, E. M., & González-Aguilar, G. A. (2013). Technologies for extraction and production of bioactive compounds to be used as nutraceuticals and food ingredients: An Overview. *Comprehensive Reviews in Food Science and Food Safety*, 12(1), 5–23. <https://doi.org/10.1111/1541-4337.12005>
  20. Jridi, M., Mezhoudi, M., Abdelhedi, O., Boughriba, S., Elfalleh, W., Souissi, N., Nasri, R., & Nasri, M. (2018). Bioactive potential and structural characterization of sulfated polysaccharides from Bullet tuna (*Auxis Rochei*) by-products. *Carbohydrate Polymers*, 194(April), 319–327. <https://doi.org/10.1016/j.carbpol.2018.04.038>

21. Jridi, M., Nasri, R., Marzougui, Z., Abdelhedi, O., Hamdi, M., & Nasri, M. (2019). Characterization and assessment of antioxidant and antibacterial activities of sulfated polysaccharides extracted from cuttlefish skin and muscle. *International Journal of Biological Macromolecules*, 123, 1221–1228. <https://doi.org/10.1016/j.ijbiomac.2018.11.170>
22. Khan, B. M., Qiu, H. M., Wang, X. F., Liu, Z. Y., Zhang, J. Y., Guo, Y. J., Chen, W. Z., Liu, Y., & Cheong, K. L. (2019). Physicochemical characterization of *Gracilaria chouae* sulfated polysaccharides and their antioxidant potential. *International Journal of Biological Macromolecules*, 134, 255–261. <https://doi.org/10.1016/j.ijbiomac.2019.05.055>
23. Leroux, J., Langendorff, V., Schick, G., Vaishnav, V., & Mazoyer, J. (2003). Emulsion stabilizing properties of pectin. *Food Hydrocolloids*, 17(4), 455–462. [https://doi.org/10.1016/S0268-005X\(03\)00027-4](https://doi.org/10.1016/S0268-005X(03)00027-4)
24. Li, H., Tao, Y., Zhao, P., Zhi, D., Gao, X., Zhao, X., & Li, M. (2019). Effect of ultrasound-assisted extraction on physicochemical properties and TLR2-affinity binding of the polysaccharides from *Pholiota nameko*. *International Journal of Biological Macromolecules*, 135, 1020–1027. <https://doi.org/10.1016/j.ijbiomac.2019.05.177>
25. Li, X., & Wang, L. (2016). Effect of extraction method on structure and antioxidant activity of *Hohenbuehelia serotina* polysaccharides. *International Journal of Biological Macromolecules*, 83, 270–276. <https://doi.org/10.1016/j.ijbiomac.2015.11.060>
26. Lowry, O. H., Rosebrough, N. J., Farr, A. L., & Randall, R. J. (1951). Protein measurement with the Folin phenol reagent. *The Journal of Biological Chemistry*, 193(1), 265–275. [https://doi.org/10.1016/0304-3894\(92\)87011-4](https://doi.org/10.1016/0304-3894(92)87011-4)
27. Loyd, A. G., Dogson, K. S., Price, R. G., & Rose, F. A. (1960). Polysaccharide Sulphates. *Biochem Biophys Acta*, 46(2961).
28. Odeleye, T., White, W. L., & Lu, J. (2019). Extraction techniques and potential health benefits of bioactive compounds from marine molluscs: a review. *Food & Function*. <https://doi.org/10.1039/c9fo00172g>
29. P. Bhuyar, M.H. Rahim, S. Sundararaju, G.P. Maniam, N. G. (2020). Antioxidant and antibacterial activity of red seaweed; *Kappaphycus alvarezii* against pathogenic bacteria. *Global Journal of Environmental Science and Management*, 5(1), 47–58. <https://doi.org/10.22034/gjesm.2020.01.0>
30. Pan, X. Y., Wang, Y. M., Li, L., Chi, C. F., & Wang, B. (2019). Four antioxidant peptides from protein hydrolysate of red stingray (*dasyatis akajei*) cartilages: Isolation, identification, and in vitro activity evaluation. *Marine Drugs*, 17(5). <https://doi.org/10.3390/md17050263>
31. Pomin, V. H., & Mulloy, B. (2018). Glycosaminoglycans and proteoglycans. *Pharmaceuticals*, 11(1), 1–9. <https://doi.org/10.3390/ph11010027>
32. Qi, H., Zhao, T., Zhang, Q., Li, Z., Zhao, Z., & Xing, R. (2005). Antioxidant activity of different molecular weight sulfated polysaccharides from *Ulva pertusa Kjellm* (Chlorophyta). *Journal of Applied Phycology*, 17(6), 527–534. <https://doi.org/10.1007/s10811-005-9003-9>
33. Rjeibi, I., Hentati, F., Feriani, A., Hfaiedh, N., Delattre, C., Michaud, P., & Pierre, G. (2019). Novel antioxidant, anti- $\alpha$ -amylase, anti-inflammatory and antinociceptive water-soluble polysaccharides from the aerial part of *Nitraria retusa*. *Foods*, 9(1), 28. <https://doi.org/10.3390/foods9010028>
34. Romdhane, M. Ben, Haddar, A., Ghazala, I., Jeddou, K. Ben, Helbert, C. B., & Ellouz-Chaabouni, S. (2017). Optimization of polysaccharides extraction from watermelon rinds: Structure, functional and biological activities. *Food Chemistry*, 216, 355–364. <https://doi.org/10.1016/j.foodchem.2016.08.056>
35. Saravana, P. S., Cho, Y. J., Park, Y. B., Woo, H. C., & Chun, B. S. (2016). Structural, antioxidant, and emulsifying activities of fucoidan from *Saccharina japonica* using pressurized liquid extraction. *Carbohydrate Polymers*, 153, 518–525. <https://doi.org/10.1016/j.carbpol.2016.08.014>
36. Sciarini, L. S., Maldonado, F., Ribotta, P. D., Pérez, G. T., & León, A. E. (2009). Chemical composition and functional properties of *Gleditsia triacanthos* gum. *Food Hydrocolloids*, 23(2), 306–313. <https://doi.org/10.1016/j.foodhyd.2008.02.011>
37. Shahidi, F. (2012). Nutraceuticals, functional foods and dietary supplements in health and disease. *Journal of Food and Drug Analysis*, 20(SUPPL.1), 226–230.
38. Shen, Q., Zhang, C., Jia, W., Qin, X., Cui, Z., & Mo, H. (2019). Co-production of chondroitin sulfate and peptide from lique fied chicken sternal cartilage by hot-pressure. *Carbohydrate Polymers*, 222(April), 115015. <https://doi.org/10.1016/j.carbpol.2019.115015>
39. Soua, L., Koubaa, M., Barba, F. J., Fakhfakh, J., Ghamgui, H. K., & Chaabouni, S. E. (2020). Water-Soluble Polysaccharides from *Ephedra alata* Stems: Structural characterization, functional properties, and antioxidant activity. *Molecules*, 25(9), 1–18. <https://doi.org/10.3390/molecules25092210>
40. Souissi, N., Boughriba, S., Abdelhedi, O., Hamdi, M., Jridi, M., Li, S., & Nasri, M. (2019a). Extraction, structural characterization, and thermal and biomedical properties of sulfated polysaccharides from razor clam *Solen marginatus*. *RSC Advances*, 9(20), 11538–11551. <https://doi.org/10.1039/C9RA00959K>



41. Trigui, I., Yaich, H., Sila, A., Cheikh-Rouhou, S., Bougatef, A., Blecker, C., Attia, H., & Ayadi, M. A. (2018). Physicochemical properties of water-soluble polysaccharides from black cumin seeds. *International Journal of Biological Macromolecules*, 117, 937–946. <https://doi.org/10.1016/j.ijbiomac.2018.05.202>
42. Wang, Y., Ghosh, S., & Nickerson, M. T. (2019). Effect of pH on the formation of electrostatic complexes between lentil protein isolate and a range of anionic polysaccharides, and their resulting emulsifying properties. *Food Chemistry*, 298(June), 125023. <https://doi.org/10.1016/j.foodchem.2019.125023>
43. Xie, J. H., Tang, W., Jin, M. L., Li, J. E., & Xie, M. Y. (2016). Recent advances in bioactive polysaccharides from *Lycium barbarum* L., *Zizyphus jujuba* Mill, *Plantago* spp., and *Morus* spp.: Structures and functionalities. *Food Hydrocolloids*, 60(235), 148–160. <https://doi.org/10.1016/j.foodhyd.2016.03.030>
44. Xu, S. Y., Huang, X., & Cheong, K. L. (2017a). Recent advances in marine algae polysaccharides: Isolation, structure, and activities. *Marine Drugs*, 15(12), 1–16. <https://doi.org/10.3390/md15120388>
45. Yang, L., & Zhang, L. (2009). Chemical structural and chain conformational characterization of some bioactive polysaccharides isolated from natural sources. *Carbohydrate Polymers*, 76(3), 349–361. <https://doi.org/10.1016/j.carbpol.2008.12.015>
46. Ye, Q., Georges, N., & Selomulya, C. (2018). Microencapsulation of active ingredients in functional foods: From research stage to commercial food products. *Trends in Food Science and Technology*, 78(January), 167–179. <https://doi.org/10.1016/j.tifs.2018.05.025>
47. Yu, Y., Shen, M., Song, Q., & Xie, J. (2018). Biological activities and pharmaceutical applications of polysaccharide from natural resources: A review. *Carbohydrate Polymers*, 183(235), 91–101. <https://doi.org/10.1016/j.carbpol.2017.12.009>
48. Zamora-Sillero, J., Gharsallaoui, A., & Prentice, C. (2018). Peptides from Fish By-product Protein Hydrolysates and Its Functional Properties: an Overview. *Marine Biotechnology*, 20(2), 118–130. <https://doi.org/10.1007/s10126-018-9799-3>
49. Zhu, D. Y., Ma, Y. L., Wang, C. H., Wang, H., Ren, Y. F., Zhang, J. G., Thakur, K., & Wei, Z. J. (2017). Insights into physicochemical and functional properties of polysaccharides sequentially extracted from onion (*Allium cepa* L.). *International Journal of Biological Macromolecules*, 105, 1192–1201. <https://doi.org/10.1016/j.ijbiomac.2017.07.164>